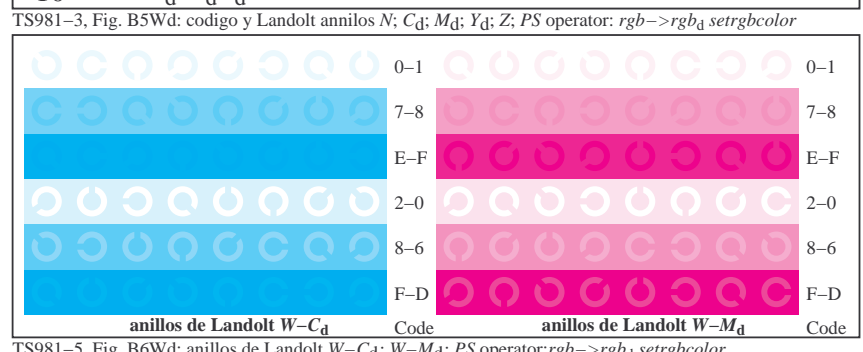


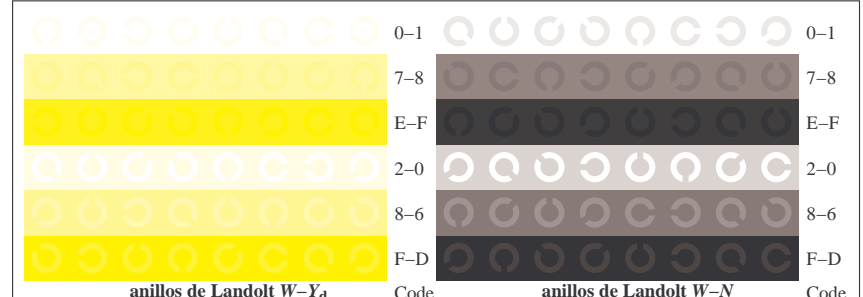
TS981-1, Fig. B4Wd: 16 equidistant pasos $W-C_d$; $W-M_d$; $W-Y_d$; $W-N$; $rgb/cmy0 \rightarrow rgb_d$ setrgbcolor

+-.:	Q	O	O	Q	C	lmno	C	O	C	O	O	pqrs	O	O	O	O	tuvw	O	O	O	O	
xyz;	O	O	O	O	O	hijk	O	O	O	O	O	lmno	O	O	O	O	pqrs	O	O	O	O	
tuvw	O	O	O	O	O	defg	O	O	O	O	O	hijk	O	O	O	O	lmno	O	O	O	O	
pqrs	O	O	O	O	O	!abc	O	O	O	O	O	+-.:	O	O	O	O	defg	O	O	O	O	
lmno	O	O	O	O	O	xyz;	O	O	O	O	O	xyz;	O	O	O	O	tuvw	O	O	O	O	
hijk	C	C	O	O	O	tuvw	O	O	O	O	O	defg	O	O	O	O	!abc	O	O	O	O	
defg	O	O	O	O	O	pqrs	O	O	O	O	O	!abc	O	O	O	O	6	N	C_d	M_d	Y_d	Z
!abc	O	O	O	O	O	10	N	C_d	M_d	Y_d	Z	8	N	C_d	M_d	Y_d	Z					

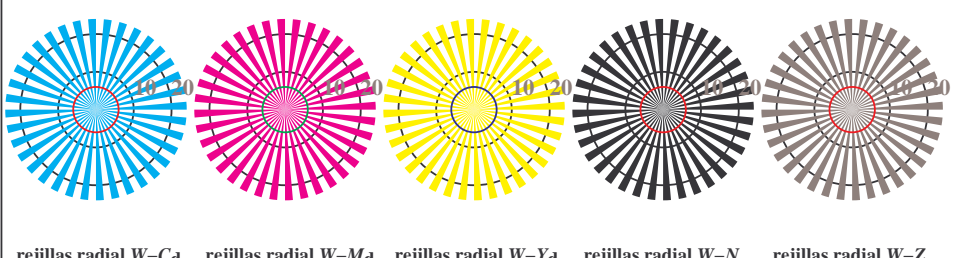
TS981-3, Fig. B5Wd: codigo y Landolt anillos N ; C_d ; M_d ; Y_d ; Z ; PS operator: $rgb \rightarrow rgb_d$ setrgbcolor



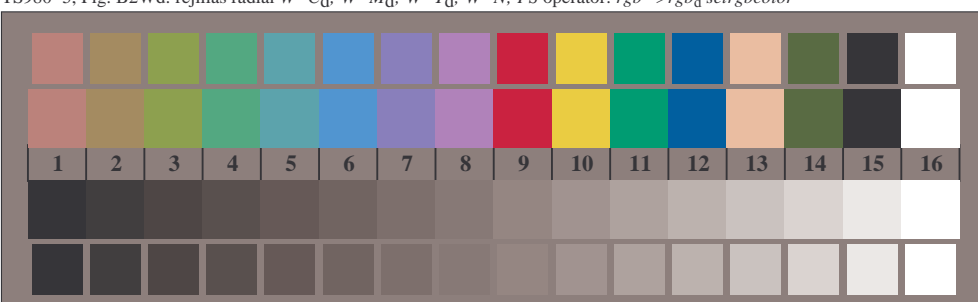
TS981-5, Fig. B6Wd: anillos de Landolt $W-C_d$; $W-M_d$; PS operator: $rgb \rightarrow rgb_d$ setrgbcolor



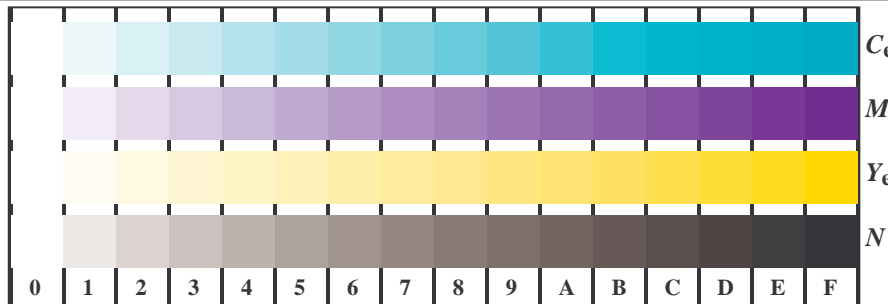
TS981-7, Fig. B7Wd: anillos de Landolt $W-Y_d$; $W-N$; PS operator: $rgb \rightarrow rgb_d$ setrgbcolor



rejillas radial $W-C_d$ rejillas radial $W-M_d$ rejillas radial $W-Y_d$ rejillas radial $W-N$ rejillas radial $W-Z$



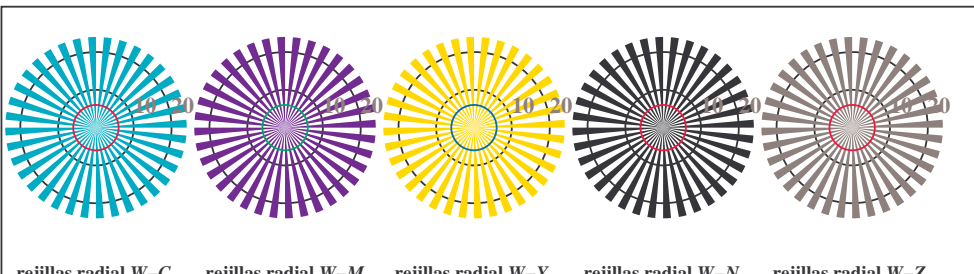
TS980-7, Fig. B3Wd: CIE 14 colores del test y 2 + 16 pasos de gris (sf); PS operator: $rgb/cmy0 \rightarrow rgb_d$ setrgbcolor



TS981-1, Fig. B4We: 16 equidistante pasos $W-C_e; W-M_e; W-Y_e; W-N$; $rgb/cmy0 \rightarrow rgb_e$ setrgbcolor

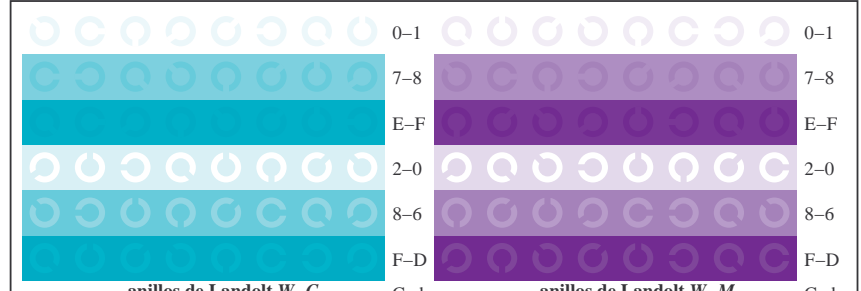
+-.:					lmno				pqrs					tuw
xyz;					hijk				lmno					pqr
tuvw					defg				hijk					lmno
pqrs					!abc				+-.:					hijk
lmno					xyz;				xyz;					+-.:
hijk					tuvw				tuvw					defg
defg					!abc				!abc					!abc
!abc					10				6					xyz;
									8					defg
														4
														$N C_e M_e Y_e Z$

TS981-3, Fig. B5We: codigo y Landolt annilos $N; C_e; M_e; Y_e; Z$; PS operator: $rgb \rightarrow rgb_e$ setrgbcolor

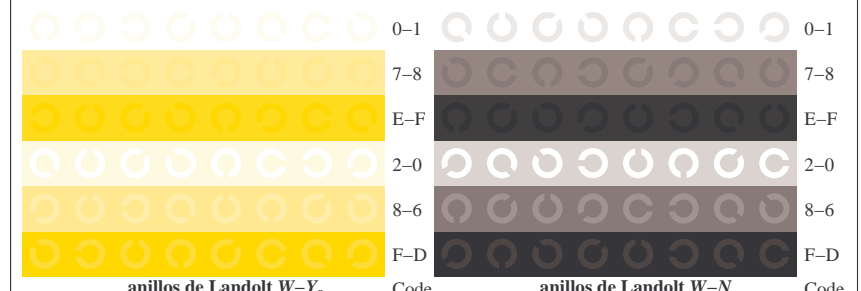


rejillas radial $W-C_e$ rejillas radial $W-M_e$ rejillas radial $W-Y_e$ rejillas radial $W-N$ rejillas radial $W-Z$

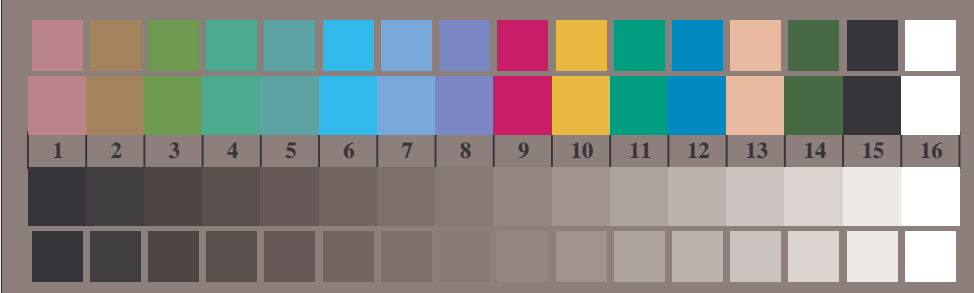
TS980-5, Fig. B2We: rejillas radial $W-C_e; W-M_e; W-Y_e; W-N$; PS operator: $rgb \rightarrow rgb_e$ setrgbcolor



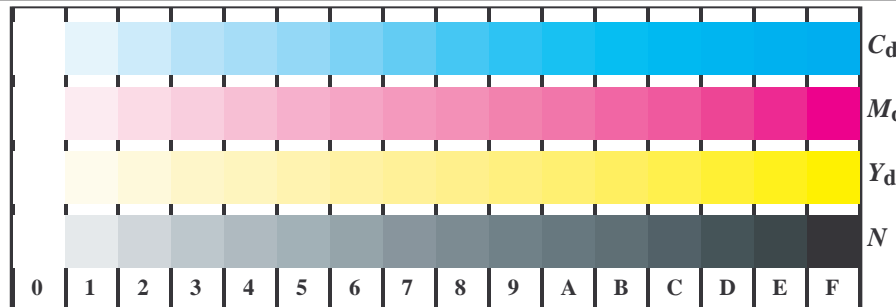
TS981-5, Fig. B6We: anillos de Landolt $W-C_e; W-M_e$; PS operator: $rgb \rightarrow rgb_e$ setrgbcolor



TS981-7, Fig. B7We: anillos de Landolt $W-Y_e; W-N$; PS operator: $rgb \rightarrow rgb_e$ setrgbcolor



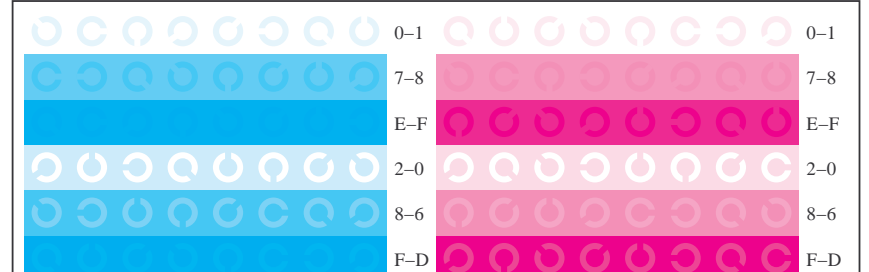
TS980-7, Fig. B3We: CIE 14 colores del test y 16 pasos de gris (sf); PS operator: $rgb/cmy0 \rightarrow rgb_e$ setrgbcolor



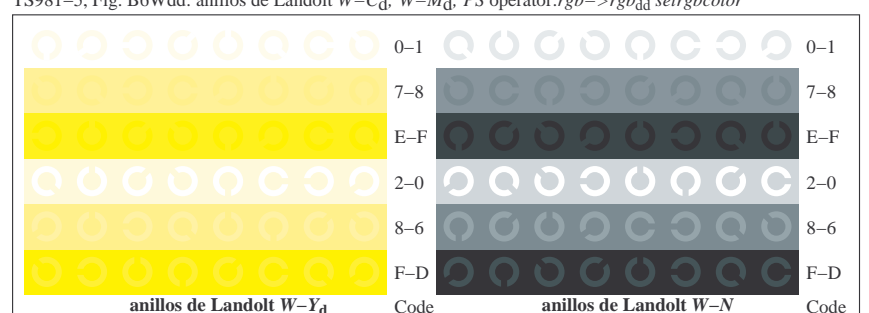
TS981-1, Fig. B4Wdd: 16 equidistant pasos $W-C_d; W-M_d; W-Y_d; W-N$; $rgb/cmy0 \rightarrow rgb_{dd}$ setrgbcolor

+-.:	Q	O	O	Q	C	lmno	C	O	C	O	O	pqrs	O	O	O	O	tuvw	O	O	O	O		
xyz;	O	O	O	O	O	hijk	O	O	O	O	O	lmno	O	O	O	O	pqrs	O	O	O	O		
tuvw	O	O	O	O	O	defg	O	O	O	O	O	hijk	O	O	O	O	hijk	O	O	O	O		
pqrs	O	O	O	O	O	!abc	O	O	O	O	O	+-.:	O	O	O	O	+-.:	O	O	O	O		
lmno	O	O	O	O	O	xyz;	O	O	O	O	O	xyz;	O	O	O	O	tuvw	O	O	O	O		
hijk	C	C	C	C	C	tuvw	O	O	O	O	O	defg	O	O	O	O	defg	O	O	O	O		
defg	O	O	O	O	O	pqrs	O	O	O	O	O	!abc	O	O	O	O	!abc	C	C	C	C		
!abc	O	O	O	O	O	10	N	C_d	M_d	Y_d	Z	6	N	C_d	M_d	Y_d	Z	4	N	C_d	M_d	Y_d	Z

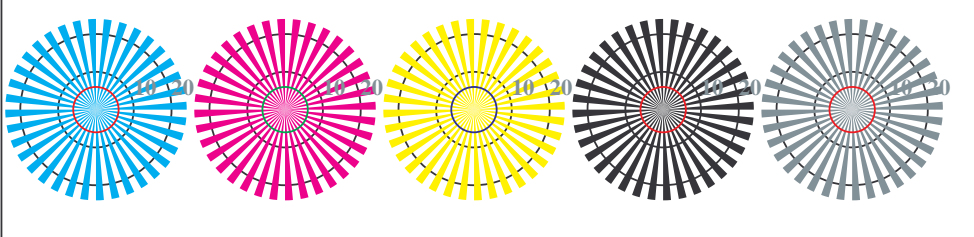
TS981-3, Fig. B5Wdd: código y Landolt anillos $N; C_d; M_d; Y_d; Z$; PS operator: $rgb \rightarrow rgb_{dd}$ setrgbcolor



TS981-5, Fig. B6Wdd: anillos de Landolt $W-C_d; W-M_d$; PS operator: $rgb \rightarrow rgb_{dd}$ setrgbcolor

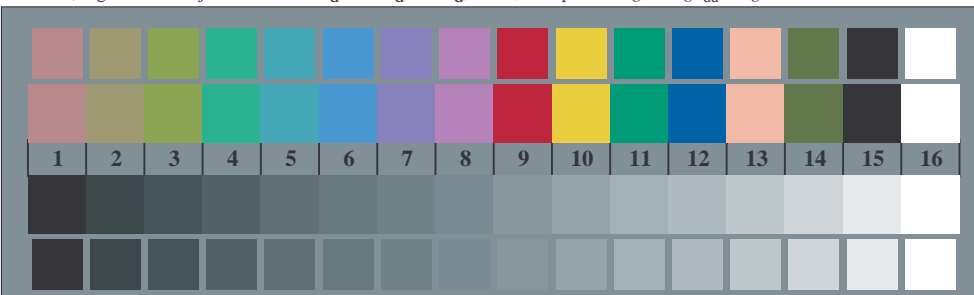


TS981-7, Fig. B7Wdd: anillos de Landolt $W-Y_d; W-N$; PS operator: $rgb \rightarrow rgb_{dd}$ setrgbcolor

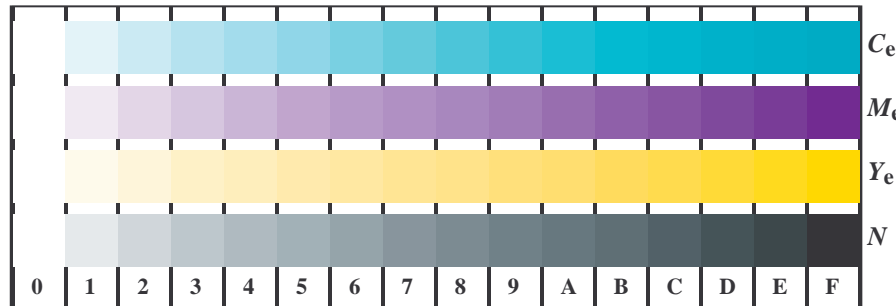


rejillas radial $W-C_d$ rejillas radial $W-M_d$ rejillas radial $W-Y_d$ rejillas radial $W-N$ rejillas radial $W-Z$

TS980-5, Fig. B2Wdd: rejillas radial $W-C_d; W-M_d; W-Y_d; W-N$; PS operator: $rgb \rightarrow rgb_{dd}$ setrgbcolor



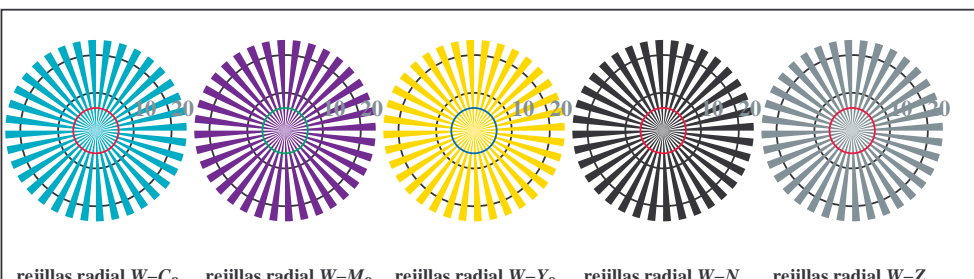
TS980-7, Fig. B3Wdd: CIE 14 colores del test y 2 + 16 pasos de gris (sf); PS operator: $rgb/cmy0 \rightarrow rgb_{dd}$ setrgbcolor



TS981-1, Fig. B4Wde: 16 equidistant pasos $W-C_e; W-M_e; W-Y_e; W-N$; $rgb/cmy0 \rightarrow rgb_{de} setrgbcolor$

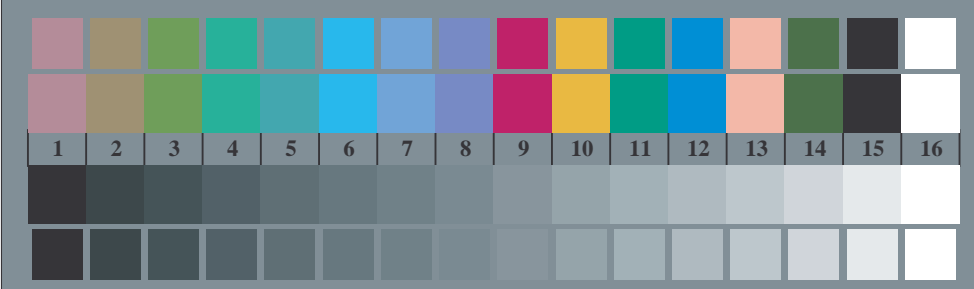
+-.:	Q	O	O	O	C	lmno	C	O	O	O	O	pqrs	O	O	O	O	tuvw	O	O	O
xyz;	O	O	O	O	O	hijk	O	O	O	O	lmno	O	O	O	O	pqrs	O	O	O	
tuvw	O	O	O	O	O	defg	O	O	O	O	hijk	C	O	O	O	hijk	O	O	O	
pqrs	O	O	O	O	O	!abc	O	O	O	O	+-.:	O	O	O	O	+-.:	O	O	O	
lmno	O	O	O	O	O	xyz;	O	O	O	O	xyz;	O	O	O	O	tuvw	O	O	O	
hijk	C	C	O	O	O	tuvw	O	O	O	O	defg	O	O	O	O	defg	O	O	O	
defg	O	O	O	O	O	pqrs	O	O	O	O	!abc	O	O	O	O	6	N	C_e M_e Y_e Z		
!abc	O	O	O	O	O	10	N	C_e M_e Y_e Z			8	N	C_e M_e Y_e Z							

TS981-3, Fig. B5Wde: código y Landolt anillos $N; C_e; M_e; Y_e; Z$; PS operator: $rgb \rightarrow rgb_{de} setrgbcolor$

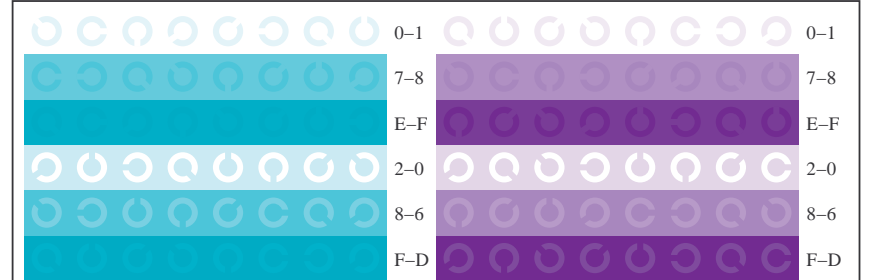


rejillas radial $W-C_e$ rejillas radial $W-M_e$ rejillas radial $W-Y_e$ rejillas radial $W-N$ rejillas radial $W-Z$

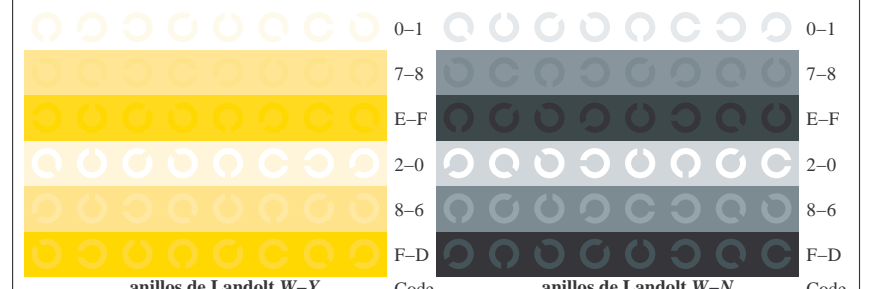
TS980-5, Fig. B2Wde: rejillas radial $W-C_e; W-M_e; W-Y_e; W-N$; PS operator: $rgb \rightarrow rgb_{de} setrgbcolor$



TS980-7, Fig. B3Wde: CIE 14 colores del test y 2 + 16 pasos de gris (sf); PS operator: $rgb/cmy0 \rightarrow rgb_{de} setrgbcolor$



TS981-5, Fig. B6Wde: anillos de Landolt $W-C_e; W-M_e$; PS operator: $rgb \rightarrow rgb_{de} setrgbcolor$



TS981-7, Fig. B7Wde: anillos de Landolt $W-Y_e; W-N$; PS operator: $rgb \rightarrow rgb_{de} setrgbcolor$